

Diagnóstico mensual de eventos climáticos para la región de RCC-Washington

(i) Temperatura

Durante el mes de marzo, las temperaturas máximas medias (Tmax) fueron más cálidas que el promedio en Cuba, Jamaica, el sur de La Española y las Antillas Menores ([Fig. 1](#)). La mayor parte de las Bahamas y las Antillas Mayores observaron una Tmax cercana al promedio. Las temperaturas mínimas medias (Tmin) también fueron más cálidas que el promedio en las Antillas Menores, Cuba y Jamaica entre 1 y 2 °C. La Española y la mayor parte de las Bahamas fueron la excepción, registrando temperaturas cercanas al promedio ([Fig. 2](#)).

En México, las Tmax fueron más cálidas que el promedio entre 1°C y 4 °C en las zonas del sur del país y la Península de Yucatán. Los estados centrales y orientales fueron más cálidos que el promedio entre 2°C y 6°C ([Fig. 1](#)). Por el contrario, el noroeste de México, incluida gran parte de la península de Baja California, registró anomalías de Tmax negativas de 1°C a 4°C. En Centroamérica, se observaron anomalías positivas de Tmax (1 – 4°C) en el norte de Guatemala, Belice y el este de Nicaragua. La Tmax estuvo cerca del promedio en los demás lugares. Las Tmin fueron más cálidas que el promedio (anomalías de 1°C a 4°C) en el sur y partes del este de México, junto con la Península de Yucatán ([Fig. 2](#)). Por el contrario, las Tmin fueron entre 1°C y 2°C más frías que el promedio en partes del centro y oeste de México. El resto de México observó Tmin cercanas al promedio. En Centroamérica, las Tmin estuvieron ligeramente por encima del promedio en 1 – 2°C en toda la región, con excepción del este de Panamá.

(ii) Precipitación

Durante marzo las lluvias más intensas se observaron en Cuba y las Bahamas. Se observaron totales mensuales de más de 100 mm que alcanzaron hasta los 200 mm ([Fig. 3](#)). Estas cantidades resultaron en anomalías positivas, con valores muy por encima de lo normal que fueron de 100 mm o más ([Fig. 4](#)). En Jamaica y La Española se produjeron precipitaciones totales de ligeras a moderadas, con hasta 25 mm en la costa de República Dominicana y tan solo 0 mm en el centro de la isla. Las Antillas de Barlovento recibieron entre 10 mm y 25 mm de lluvia. Si bien las precipitaciones observadas en La Española dieron como resultado anomalías negativas de entre 10 mm y 50 mm, en las Antillas Menores se produjeron anomalías ligeras.

Se recibió poca lluvia en la mayor parte de México. Sin embargo, se recibieron fuertes lluvias localizadas en la Península de Yucatán (más de 100 mm) y el noroeste de Bahía California (50 – 100 mm) ([Fig. 3](#)). Se observaron algunas lluvias moderadas a lo largo de la costa del Golfo de México. Debido a la falta de lluvias en marzo, las anomalías negativas (10 - 50 mm) se extendieron por todo el oriente y sur de México ([Fig. 4](#)). En Centroamérica se recibieron algunas lluvias fuertes localizadas, mientras que muchas otras zonas no recibieron ninguna lluvia. Partes localizadas del norte y centro de Honduras, el centro-norte de Nicaragua, Costa Rica y el oeste de Panamá recibieron las cantidades más altas de 75 mm a 150 mm. Algunas otras partes de Honduras, así como el centro de Guatemala, recibieron lluvias moderadas. Las porciones secas del área incluyeron el norte y sur de Guatemala, El Salvador, Belice, el sur de Nicaragua y el norte de Costa Rica. El patrón resultó en algunas anomalías negativas

sustanciales (25 – 100 mm) en Guatemala, Belice y el este de Panamá. Las precipitaciones localizadas más intensas estuvieron más de 100 mm por encima del promedio en el centro de Honduras, el sur de Costa Rica y el centro-norte de Panamá.

(iii) Eventos Notables

Las temperaturas máximas han aumentado constantemente por encima del promedio durante el mes en grandes áreas de Centroamérica. Estas temperaturas, combinadas con los vientos y las condiciones secas, provocaron un elevado peligro de incendio en muchas zonas. El aumento de la evaporación, que agrava las condiciones del suelo ya secas, ha provocado bajos caudales en muchas áreas, incluidas El Salvador, Guatemala, Honduras y Nicaragua, lo que puede afectar negativamente el sistema de riego al comienzo de la próxima temporada de crecimiento de cultivos. En Guatemala, esto está afectando negativamente la producción de energía, donde una declaración de emergencia es válida hasta junio.

Tanto la sequía a corto como a largo plazo continúan afectando a México durante toda la estación seca. El Monitor de sequía de América del Norte clasificó a más de la mitad del país (alrededor del 56%) bajo condiciones de sequía de moderada a extrema a finales de febrero ([Fig. 5](#)). La cosecha de maíz de invierno del país, especialmente alrededor del golfo de California, se ve afectada negativamente por la sequía. Este menor rendimiento en la cosecha del maíz elevará el precio del maíz y las tortillas de maíz en el país.

(iv) Temperatura superficie del mar y circulación.

Durante marzo, las temperaturas de la superficie del mar (SST) se mantuvieron por encima del promedio en el Pacífico oriental y central ecuatorial. Sin embargo, la magnitud de las anomalías siguió disminuyendo durante el mes. Anomalías positivas de TSM de 0.5-1.5°C se extendieron desde la longitud 90W hacia el oeste hasta más allá de la longitud 140E. El índice Niño3.4 disminuyó ligeramente durante marzo de 1.3°C a 1.2°C. Estos valores son indicativos de un El Niño "moderado" pero debilitado. El índice Niño 1+2 se tornó ligeramente negativo donde se observó la aparición de una pequeña área de TSM por debajo del promedio cerca de Ecuador. Basado en los patrones de TSM observados y las anomalías atmosféricas del Pacífico, el Centro de Predicción Climática de la NOAA tiene un "aviso de El Niño". Se espera que El Niño pase a condiciones de ENSO neutral durante abril-junio de 2024 con una probabilidad del 85%. El pronóstico también se inclina hacia probabilidades que muestran un desarrollo de condiciones de La Niña para junio-agosto de 2024 (~60% de probabilidad). En consecuencia, también se ha emitido una 'Vigilancia de La Niña'.

Enfocándonos en la región RCC, la TSM estuvo por encima del promedio en el Golfo de México, con anomalías que oscilaron entre 0.5 °C y alrededor de 2 °C ([Fig. 6](#)). Las partes sur y este del Caribe exhibieron anomalías positivas de TSM de 1-1.5°C, mientras que las partes norte y oeste exhibieron anomalías positivas de 0.5-1.0°C. El Atlántico tropical y subtropical fue mucho más cálido que el promedio, con anomalías de 1.0 a 2.0 °C. La cuenca del Pacífico oriental tropical tuvo una TSM más cálida de lo normal. Las aguas al oeste de Nicaragua y Costa Rica exhibieron anomalías de TSM de 1.5 a 3.0°C. En el Golfo de California se observaron anomalías positivas de 0.5 a 1.5°C.

El patrón de circulación de 850 mb presentó anomalías de viento del oeste sobre el Pacífico oriental tropical, así como la mayor parte de las islas del Caribe. Vientos anómalos del suroeste estuvieron presentes en Centroamérica y el sur de México ([Fig. 7](#)). Mientras tanto, una anomalía de circulación ciclónica se presentó en el Golfo de México. En el nivel de 200 mb, una fuerte anomalía de vientos del oeste se observó sobre México y el Golfo de México. Los vientos anómalos del oeste también dominaron el Caribe oriental como parte de una anomalía de circulación ciclónica amplia que se observó en la región. Se observaron vientos anómalos del norte sobre América Central ([Fig. 8](#)).

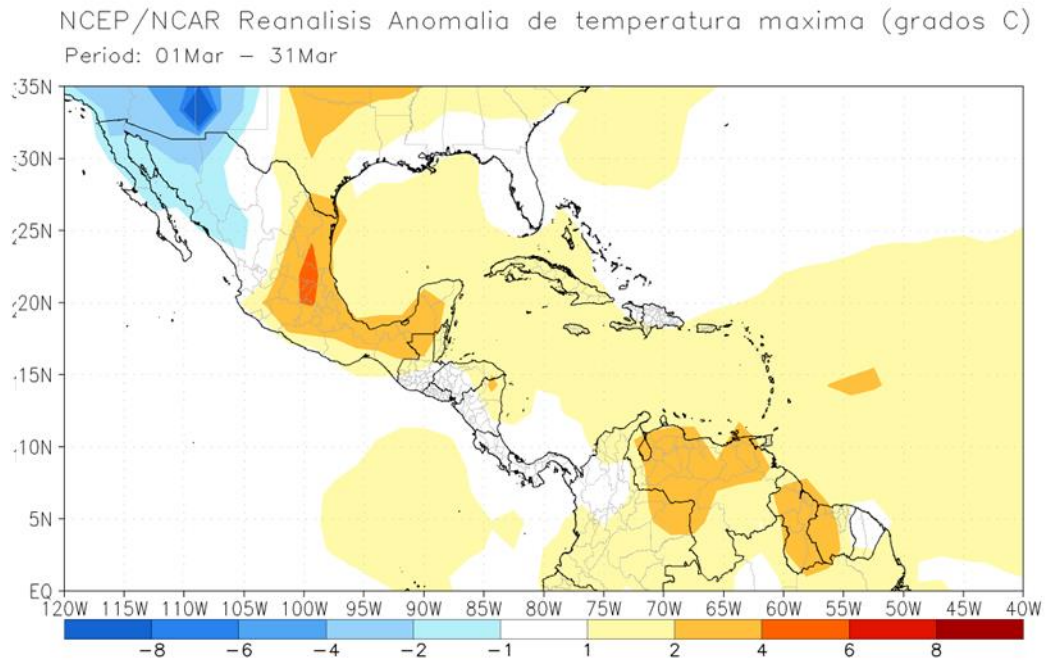


Figura 1. NCEP/NCAR reanálisis anomalía de temperatura máxima media cuadrada (°C) durante el mes de marzo. Las anomalías se calculan con respecto al período base 1991-2020.

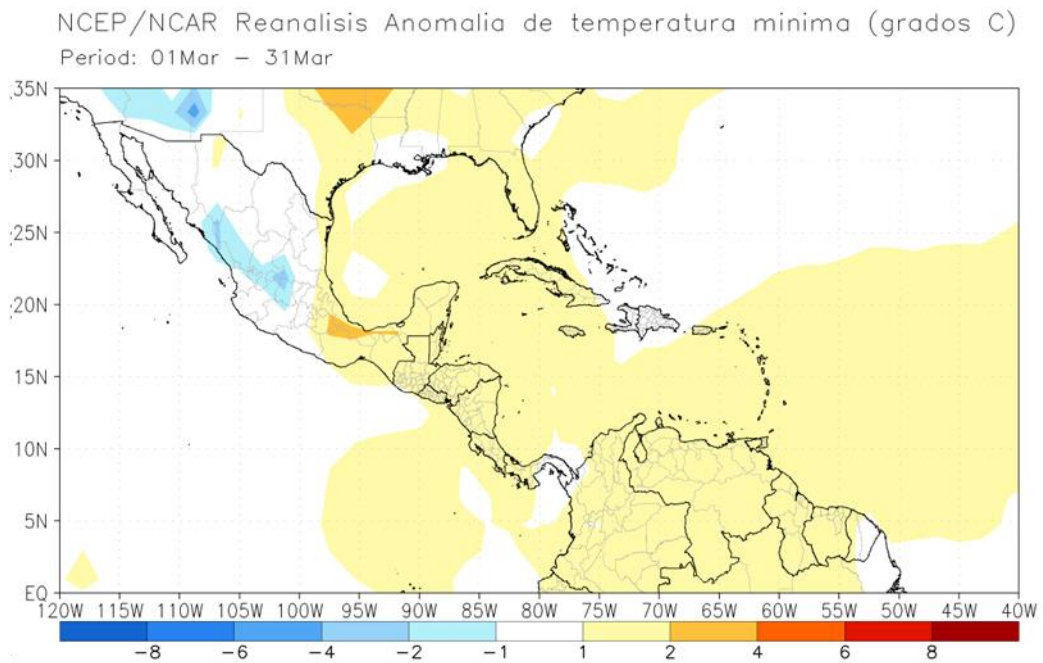


Figura 2. NCEP/NCAR reanálisis anomalía de temperatura mínima media cuadrada (°C) durante el mes de marzo de 2024. Las anomalías se calculan con respecto al período base 1991-2020.

CMORPH: Precipitación total para un 1 mes (mm)

Period: 01Mar2024 - 31Mar2024

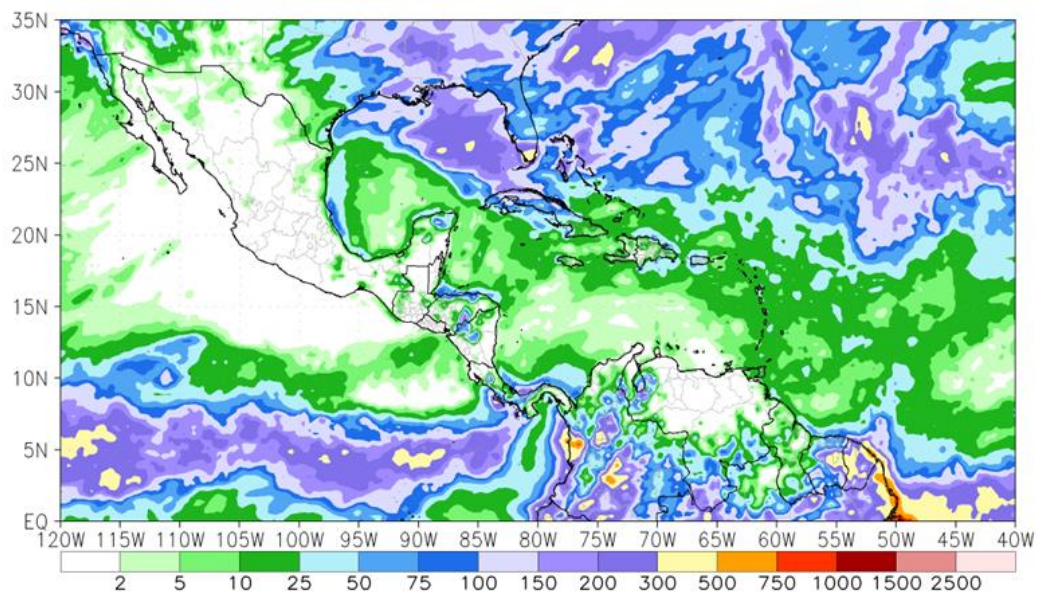


Figura 3. Precipitación total estimada por satélite (mm) durante el mes de marzo de 2024.

CMORPH: Precipitación total para un 1 mes (mm)

Period: 01Mar2024 - 31Mar2024

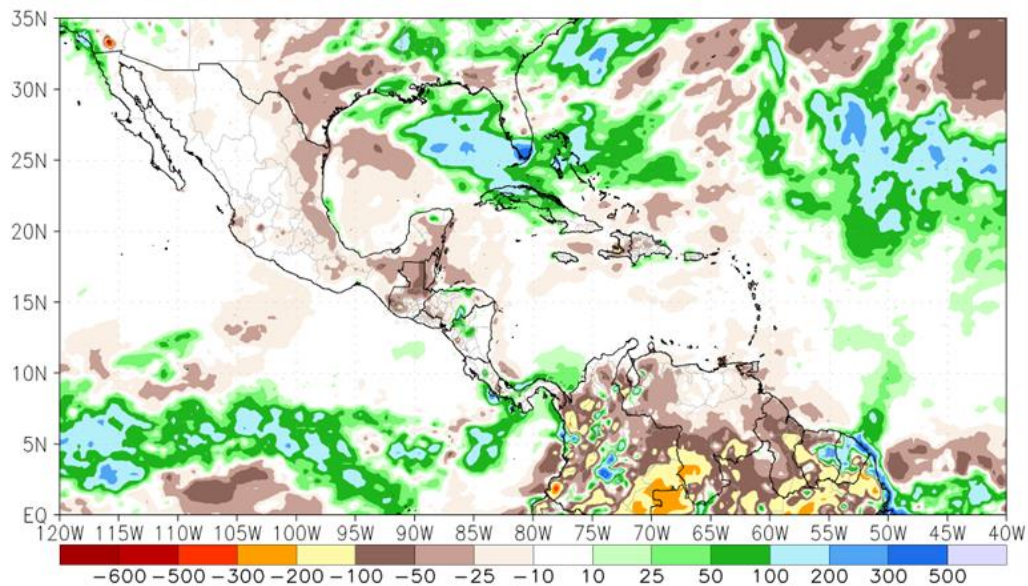


Figura 4. Anomalía de precipitación estimada por satélite (mm) durante el mes de marzo de 2024. Las anomalías se calculan con respecto al período base 1998-2012.

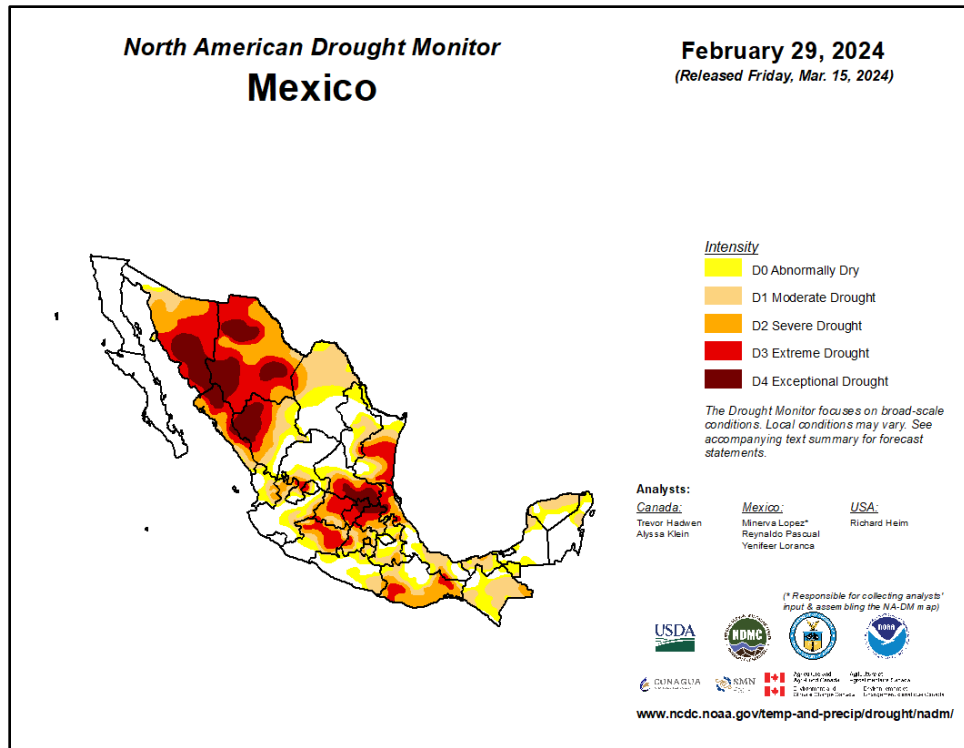


Figura 5. Índice de precipitación estandarizado (SPI) utilizando datos CMORPH para el período de 1 mes desde 01 de febrero hasta 29 de febrero de 2024, que indica el número de desviaciones estándar por las cuales la anomalía observada se desvía de la media a largo plazo.

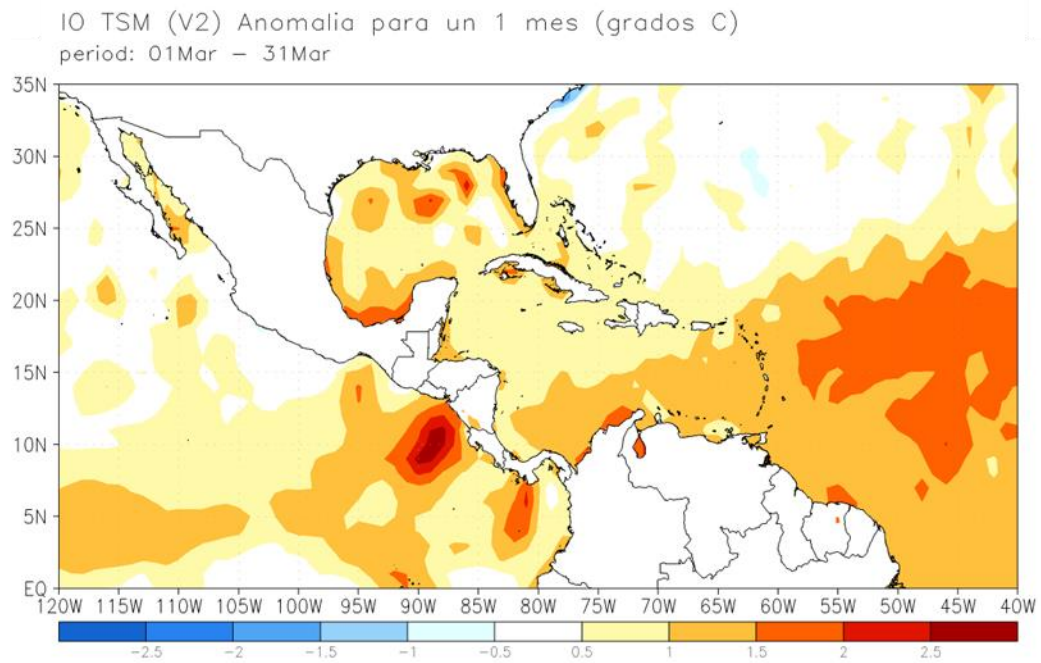


Figura 6. Anomalías de la temperatura media de la superficie del mar (TSM) (°C) para el mes de marzo de 2024. Las anomalías se calculan con respecto al período base 1991-2020.

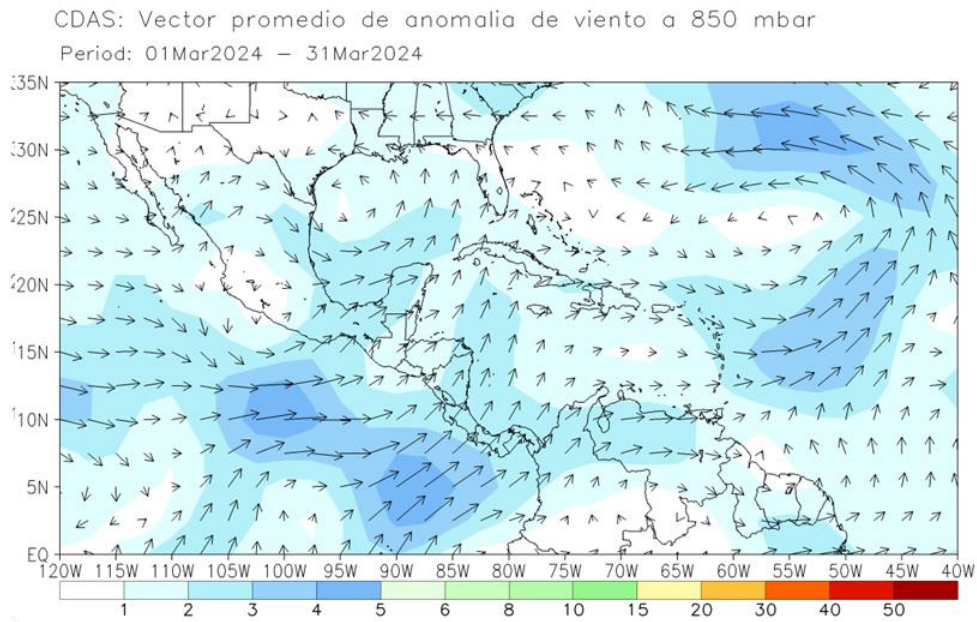


Figura 7. Anomalías de viento del vector medio de 850 mbar para el mes de marzo de 2024. Las anomalías se calculan con respecto a 1991-2020.

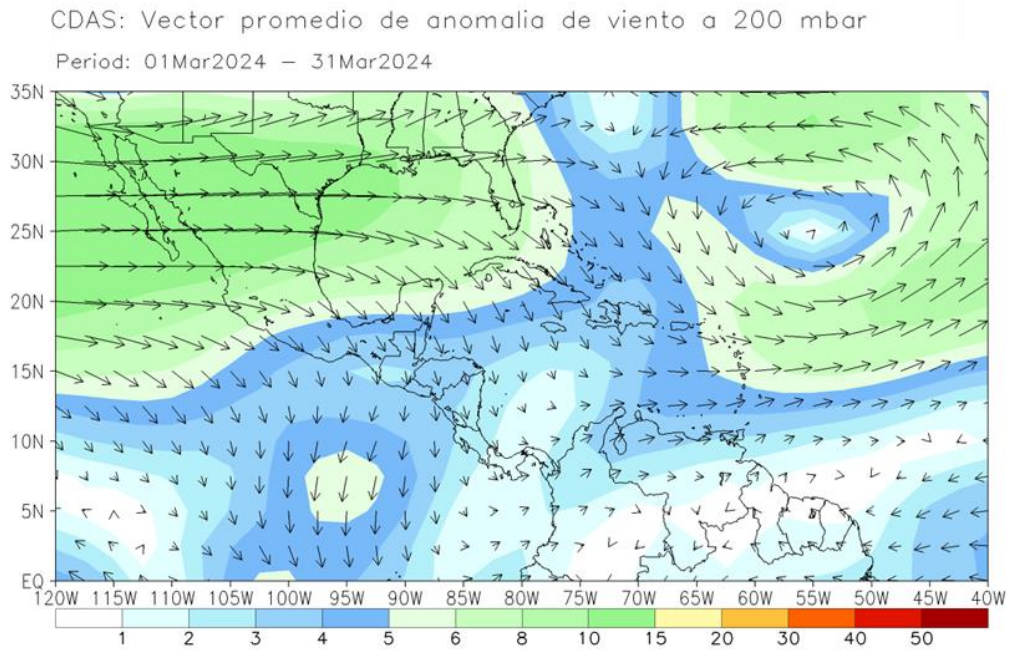


Figura 8. Anomalia del vector de viento de 200 mbar para el mes de marzo de 2024. Las anomalías se calculan con respecto a 1991-2020.

18 de abril de 2024

Actualización preparada por el Centro de Predicción Climática / NCEP